

Quelques applications de la représentation polytopique à la commande et l'estimation

Souad Bezzaoucha, Benoît Marx, Didier Maquin et José Ragot

Centre de Recherche en Automatique de Nancy (CRAN)
Université de Lorraine, CNRS

GT S3 : Sûreté, Surveillance, Supervision, 11 Juin 2012



Objectifs

- 1 Synthèse d'une commande par retour d'état (ou de sortie) assurant le recalage à l'origine du système, sous contrainte de saturation
- 2 Synthèse d'observateurs pour des systèmes à paramètres variants dans le temps assurant l'estimation simultanée de l'état et des variations paramétriques du système

Contribution

Ré-écriture polytopique (modèles de T-S) des non-linéarités

Objectifs

- 1 Synthèse d'une commande par retour d'état (ou de sortie) assurant le recalage à l'origine du système, sous contrainte de saturation
- 2 Synthèse d'observateurs pour des systèmes à paramètres variants dans le temps assurant l'estimation simultanée de l'état et des variations paramétriques du système

Contribution

Ré-écriture polytopique (modèles de T-S) des non-linéarités

1 Contribution du travail

2 Généralités

3 Système à commande saturée

- Cas scalaire
- Cas vectoriel
- Exemple illustratif
- Commande par retour d'état sous contrainte de saturation
- Extension aux systèmes non linéaires sous forme T-S sous contrainte de saturation
- Autres applications
- Simulations

4 Systèmes à paramètres variant dans le temps

- Systèmes linéaires à paramètres variants dans le temps
- Relaxation des conditions
- Extension aux systèmes non linéaires sous forme T-S à paramètres variants dans le temps
- Simulations

5 Conclusion et Perspectives

Un modèle T-S est composé d'un ensemble fini de modèles linéaires interconnectés grâce à des fonctions non linéaires définissant la contribution de chaque sous-modèle.

$$\begin{cases} \dot{x}(t) &= \sum_{i=1}^n \mu_i(\xi(t))(A_i x(t) + B_i u(t)) \\ y(t) &= \sum_{i=1}^n \mu_i(\xi(t))(C_i x(t) + D_i u(t)) \end{cases}$$

$x(t) \in \mathbb{R}^{n_x}$ l'état du système, $u(t) \in \mathbb{R}^{n_u}$ la commande et $y(t) \in \mathbb{R}^m$ la sortie.

$\xi(t) \in \mathbb{R}^q$ variable de décision (mesurable $u(t), y(t)$ ou non mesurable $x(t)$).

Les fonctions poids $\mu_i(\xi(t))$ des n sous modèles vérifient la propriété de somme convexe

$$\begin{cases} \sum_{i=1}^n \mu_i(\xi(t)) = 1 \quad \text{et} \\ 0 \leq \mu_i(\xi(t)) \leq 1, \quad i = 1, \dots, n, \quad \forall t \end{cases}$$

Transformation d'un modèle NL en modèle T-S

Basée directement sur la connaissance analytique du modèle non linéaire, le passage par une forme quasi-LPV et à l'aide de transformations polytopiques convexes,

$$\text{NL} \begin{cases} \dot{x}(t) = f_x(x(t), u(t)) \\ y(t) = f_y(x(t), u(t)) \end{cases} \Rightarrow$$

$$\text{Quasi-LPV} \begin{cases} \dot{x}(t) = A(x(t), u(t))x(t) + B(x(t), u(t))u(t) \\ y(t) = C(x(t), u(t))x(t) + D(x(t), u(t))u(t) \end{cases} \Rightarrow$$

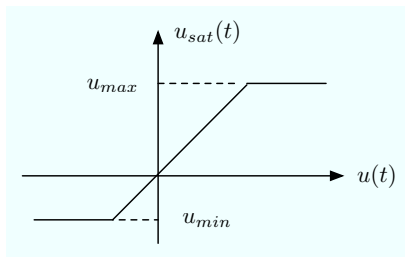
$$\text{Modèle T-S} \begin{cases} \dot{x}(t) = \sum_{i=1}^n \mu_i(\xi(t))(A_i x(t) + B_i u(t)) \\ y(t) = \sum_{i=1}^n \mu_i(\xi(t))(C_i x(t) + D_i u(t)) \end{cases}$$

Saturation polytopique

Objectif

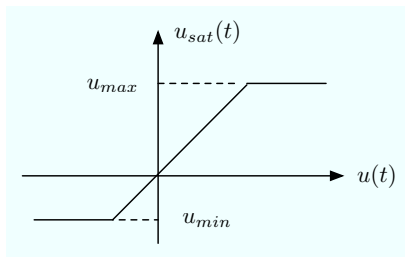
ré-écrire la saturation des actionneurs sous forme de modèles T-S

$$u_{sat}(t) = \begin{cases} u(t) & \text{si } u_{min} \leq u(t) \leq u_{max} \\ u_{max} & \text{si } u(t) \geq u_{max} \\ u_{min} & \text{si } u(t) \leq u_{min} \end{cases}$$



$$\begin{cases} u_{sat}(t) = \mu_1(t)u_{min} + \mu_2(t)u(t) + \mu_3(t)u_{max} \\ \mu_1(t) = \frac{1 - \text{sign}(u(t) - u_{min})}{2} \\ \mu_2(t) = \frac{\text{sign}(u(t) - u_{min}) - \text{sign}(u(t) - u_{max})}{2} \\ \mu_3(t) = \frac{1 + \text{sign}(u(t) - u_{max})}{2} \end{cases} \Rightarrow \begin{cases} u_{sat}(t) = \sum_{i=1}^3 \mu_i(t)(\lambda_i u(t) + \gamma_i) \\ \lambda_1 = 0 \quad \lambda_2 = 1 \quad \lambda_3 = 0 \\ \gamma_1 = u_{min} \quad \gamma_2 = 0 \quad \gamma_3 = u_{max} \end{cases}$$

$$u_{sat}(t) = \begin{cases} u(t) & \text{si } u_{min} \leq u(t) \leq u_{max} \\ u_{max} & \text{si } u(t) \geq u_{max} \\ u_{min} & \text{si } u(t) \leq u_{min} \end{cases}$$



$$\begin{cases} u_{sat}(t) = \mu_1(t)u_{min} + \mu_2(t)u(t) + \mu_3(t)u_{max} \\ \mu_1(t) = \frac{1 - \text{sign}(u(t) - u_{min})}{2} \\ \mu_2(t) = \frac{\text{sign}(u(t) - u_{min}) - \text{sign}(u(t) - u_{max})}{2} \\ \mu_3(t) = \frac{1 + \text{sign}(u(t) - u_{max})}{2} \end{cases}$$

$$\Rightarrow \begin{cases} u_{sat}(t) = \sum_{i=1}^3 \mu_i(t)(\lambda_i u(t) + \gamma_i) \\ \lambda_1 = 0 \quad \lambda_2 = 1 \quad \lambda_3 = 0 \\ \gamma_1 = u_{min} \quad \gamma_2 = 0 \quad \gamma_3 = u_{max} \end{cases}$$

$u(t) \in \mathbb{R}^{n_u}$, $u_j(t)$ (resp. $u_{sat}^j(t)$) la $j^{\text{ème}}$ composante de $u(t)$ (resp. $u_{sat}(t)$).

$$u_{sat}(t) = \begin{pmatrix} \sum_{i=1}^3 \mu_i^1(u_1(t))(\lambda_i^1 u_1(t) + \gamma_i^1) \\ \vdots \\ \sum_{i=1}^3 \mu_i^{n_u}(u_{n_u}(t))(\lambda_i^{n_u} u_{n_u}(t) + \gamma_i^{n_u}) \end{pmatrix}$$

Pour avoir les mêmes fonctions poids $\mu_i^j(t)$ pour toutes les composantes du vecteur $u_{sat}(t)$

$$u_{sat}(t) = \begin{pmatrix} \left(\sum_{i=1}^3 \mu_i^1(u_1(t))(\lambda_i^1 u_1(t) + \gamma_i^1) \right) \times \left(\prod_{k=2}^{n_u} \sum_{j=1}^3 \mu_j^k(u_k(t)) \right) \\ \vdots \\ \sum_{i=1}^3 \mu_i^\ell(u_\ell(t))(\lambda_i^\ell u_\ell(t) + \gamma_i^\ell) \times \left(\prod_{k=1, k \neq \ell}^{n_u} \sum_{j=1}^3 \mu_j^k(u_k(t)) \right) \\ \vdots \\ \left(\sum_{i=1}^3 \mu_i^{n_u}(u_{n_u}(t))(\lambda_i^{n_u} u_{n_u}(t) + \gamma_i^{n_u}) \right) \times \left(\prod_{k=1}^{n_u-1} \sum_{j=1}^3 \mu_j^k(u_k(t)) \right) \end{pmatrix}$$

Ecriture T-S de la saturation

$$u_{sat}(t) = \sum_{i=1}^{3^{n_u}} \mu_i^{sat}(t) (\Lambda_i u(t) + \Gamma_i)$$

Fonctions d'activation

$$\begin{cases} \mu_i^{sat}(t) &= \prod_{j=1}^{n_u} \mu_{\sigma_i^j}^j(u_j(t)) \\ \Lambda_i &= \text{diag}(\lambda_{\sigma_i^1}^1, \dots, \lambda_{\sigma_i^{n_u}}^{n_u}) \\ \Gamma_i &= \begin{pmatrix} \gamma_{\sigma_i^1}^1 & \dots & \gamma_{\sigma_i^{n_u}}^{n_u} \end{pmatrix}^T \end{cases}$$

où les indices σ_i^j ($i = 1, \dots, 3^{n_u}$ et $j = 1, \dots, n_u$), égaux à 1, 2 ou 3, indiquent la partition de la $j^{\text{ème}}$ entrée (μ_1^j, μ_2^j ou μ_3^j) dans le $i^{\text{ème}}$ sous-modèle.

La relation entre le sous modèle i et l'indice σ_i^j est donnée par

$$i = 3^{n_u-1} \sigma_i^1 + 3^{n_u-2} \sigma_i^2 + \dots + 3^0 \sigma_i^{n_u} - (3^1 + 3^2 + \dots + 3^{n_u-1})$$

Ecriture T-S de la saturation

$$u_{sat}(t) = \sum_{i=1}^{3^{n_u}} \mu_i^{sat}(t) (\Lambda_i u(t) + \Gamma_i)$$

Fonctions d'activation

$$\begin{cases} \mu_i^{sat}(t) &= \prod_{j=1}^{n_u} \mu_{\sigma_i^j}^j(u_j(t)) \\ \Lambda_i &= \text{diag}(\lambda_{\sigma_i^1}^1, \dots, \lambda_{\sigma_i^{n_u}}^{n_u}) \\ \Gamma_i &= \left(\gamma_{\sigma_i^1}^1 \quad \dots \quad \gamma_{\sigma_i^{n_u}}^{n_u} \right)^T \end{cases}$$

où les indices σ_i^j ($i = 1, \dots, 3^{n_u}$ et $j = 1, \dots, n_u$), égaux à 1, 2 ou 3, indiquent la partition de la $j^{\text{ème}}$ entrée (μ_1^j, μ_2^j ou μ_3^j) dans le $i^{\text{ème}}$ sous-modèle.

La relation entre le sous modèle i et l'indice σ_i^j est donnée par

$$i = 3^{n_u-1} \sigma_i^1 + 3^{n_u-2} \sigma_i^2 + \dots + 3^0 \sigma_i^{n_u} - (3^1 + 3^2 + \dots + 3^{n_u-1})$$

Pour $n_U = 2$ entrées :

$$u_{\text{sat}}(t) = \sum_{i=1}^9 \mu_i(t)(\Lambda_i u(t) + \Gamma_i)$$

$$\left\{ \begin{array}{lll} \lambda_1^1 = \lambda_1^2 = 0 & \lambda_2^1 = \lambda_2^2 = 1 & \lambda_3^1 = \lambda_3^2 = 0 \\ \gamma_1^1 = u_{\min}^1 & \gamma_2^1 = 0 & \gamma_3^1 = u_{\max}^1 \\ \gamma_1^2 = u_{\min}^2 & \gamma_2^2 = 0 & \gamma_3^2 = u_{\max}^2 \end{array} \right.$$

sous modèle i	(σ_i^1, σ_i^2)	$\mu_i(t)$	Λ_i	Γ_i
1	(1, 1)	$\mu_1^1 \mu_1^2$	$\text{diag}(\lambda_1^1, \lambda_1^2)$	$[\gamma_1^1 \quad \gamma_1^2]^T$
2	(1, 2)	$\mu_1^1 \mu_2^2$	$\text{diag}(\lambda_1^1, \lambda_2^2)$	$[\gamma_1^1 \quad \gamma_2^2]^T$
3	(1, 3)	$\mu_1^1 \mu_3^2$	$\text{diag}(\lambda_1^1, \lambda_3^2)$	$[\gamma_1^1 \quad \gamma_3^2]^T$
4	(2, 1)	$\mu_2^1 \mu_1^2$	$\text{diag}(\lambda_2^1, \lambda_1^2)$	$[\gamma_2^1 \quad \gamma_1^2]^T$
5	(2, 2)	$\mu_2^1 \mu_2^2$	$\text{diag}(\lambda_2^1, \lambda_2^2)$	$[\gamma_2^1 \quad \gamma_2^2]^T$
6	(2, 3)	$\mu_2^1 \mu_3^2$	$\text{diag}(\lambda_2^1, \lambda_3^2)$	$[\gamma_2^1 \quad \gamma_3^2]^T$
7	(3, 1)	$\mu_3^1 \mu_1^2$	$\text{diag}(\lambda_3^1, \lambda_1^2)$	$[\gamma_3^1 \quad \gamma_1^2]^T$
8	(3, 2)	$\mu_3^1 \mu_2^2$	$\text{diag}(\lambda_3^1, \lambda_2^2)$	$[\gamma_3^1 \quad \gamma_2^2]^T$
9	(3, 3)	$\mu_3^1 \mu_3^2$	$\text{diag}(\lambda_3^1, \lambda_3^2)$	$[\gamma_3^1 \quad \gamma_3^2]^T$

Commande par retour d'état sous contrainte de saturation

Problématique

$$\begin{aligned}\dot{x}(t) &= Ax(t) + Bu_{sat}(t) \\ u_{sat}(t) &= \sum_{i=1}^{3^{n_u}} \mu_i^{sat}(t) (\Lambda_i u(t) + \Gamma_i) \\ u(t) &= -Kx(t)\end{aligned}$$

Objectif

Trouver le gain K pour garantir le recalage du système à l'origine et compte tenu des limites de saturation

Solution proposée

- Passage par la représentation T-S : $\dot{x}(t) = \sum_{i=1}^{3^{n_u}} \mu_i^{sat}(t) ((A - B\Lambda_i K)x(t) + B\Gamma_i)$
- Problème d'optimisation sous contraintes LMI : $\min_K ||x(t)||$

Problématique

$$\begin{aligned}\dot{x}(t) &= Ax(t) + Bu_{sat}(t) \\ u_{sat}(t) &= \sum_{i=1}^{3^{n_u}} \mu_i^{sat}(t) (\Lambda_i u(t) + \Gamma_i) \\ u(t) &= -Kx(t)\end{aligned}$$

Objectif

Trouver le gain K pour garantir le recalage du système à l'origine et compte tenu des limites de saturation

Solution proposée

- Passage par la représentation T-S : $\dot{x}(t) = \sum_{i=1}^{3^{n_u}} \mu_i^{sat}(t) ((A - B\Lambda_i K)x(t) + B\Gamma_i)$
- Problème d'optimisation sous contraintes LMI : $\min_K \|x(t)\|$

Problématique

$$\begin{aligned}\dot{x}(t) &= Ax(t) + Bu_{sat}(t) \\ u_{sat}(t) &= \sum_{i=1}^{3^{n_u}} \mu_i^{sat}(t) (\Lambda_i u(t) + \Gamma_i) \\ u(t) &= -Kx(t)\end{aligned}$$

Objectif

Trouver le gain K pour garantir le recalage du système à l'origine et compte tenu des limites de saturation

Solution proposée

- Passage par la représentation T-S : $\dot{x}(t) = \sum_{i=1}^{3^{n_u}} \mu_i^{sat}(t) ((A - B\Lambda_i K)x(t) + B\Gamma_i)$
- Problème d'optimisation sous contraintes LMI : $\min_K \|x(t)\|$

Approche de Lyapunov

$$\dot{x}(t) = \sum_{i=1}^{3^{n_u}} \mu_i(t) ((A - B\Lambda_i K)x(t) + B\Gamma_i)$$

$$V(x(t)) = x^T(t)Px(t), \quad P = P^T > 0$$

$$\dot{V}(x(t)) \leq \sum_{i=1}^{3^{n_u}} \mu_i(t) (x^T(t) ((A - B\Lambda_i K)^T P + P(A - B\Lambda_i K) + P\Sigma^{-1}P)x(t) + \Gamma_i^T B^T \Sigma B \Gamma_i)$$

Définissons :

$$\mathcal{Q}_i = (A - B\Lambda_i K)^T P + P(A - B\Lambda_i K) + P\Sigma^{-1}P$$

$$\varepsilon = \min_{i=1:3^{n_u}} \lambda_{\min}(-\mathcal{Q}_i)$$

$$\delta = \max_{i=1:3^{n_u}} \Gamma_i^T B^T \Sigma B \Gamma_i$$

Alors

$$\dot{V}(t) < -\varepsilon \|x\|^2 + \delta$$

Condition

$$\dot{V}(t) < -\varepsilon \|x(t)\|^2 + \delta$$

$x(t)$ est borné et converge vers une boule centrée à l'origine de rayon $\sqrt{\frac{\delta}{\varepsilon}}$ si :

$$\mathcal{Q}_i < 0 \quad \text{et} \quad \|x(t)\|^2 > \frac{\delta}{\varepsilon}, \quad i = 1, \dots, 3^{n_u}$$

LMI à résoudre

$$\mathcal{Q}_i = (A - B\Lambda_i K)^T P + P(A - B\Lambda_i K) + P\Sigma^{-1}P$$

$$\mathcal{Q}_i < 0 \equiv \begin{pmatrix} P_1 A^T + A P_1 - R^T \Lambda_i^T B^T - B \Lambda_i R & I \\ I & -\Sigma \end{pmatrix} < 0, \quad (P_1 = P^{-1}), \quad i = 1, \dots, 3^{n_u}$$

Commande par retour d'état : $u(t) = -Kx(t)$, $K = RP_1^{-1}$

Condition

$$\dot{V}(t) < -\varepsilon \|x(t)\|^2 + \delta$$

$x(t)$ est borné et converge vers une boule centrée à l'origine de rayon $\sqrt{\frac{\delta}{\varepsilon}}$ si :

$$\mathcal{Q}_i < 0 \quad \text{et} \quad \|x(t)\|^2 > \frac{\delta}{\varepsilon}, \quad i = 1, \dots, 3^{n_u}$$

LMI à résoudre

$$\mathcal{Q}_i = (A - B\Lambda_i K)^T P + P(A - B\Lambda_i K) + P\Sigma^{-1}P$$

$$\mathcal{Q}_i < 0 \equiv \begin{pmatrix} P_1 A^T + A P_1 - R^T \Lambda_i^T B^T - B \Lambda_i R & I \\ I & -\Sigma \end{pmatrix} < 0, \quad (P_1 = P^{-1}), \quad i = 1, \dots, 3^{n_u}$$

Commande par retour d'état : $u(t) = -Kx(t)$, $K = RP_1^{-1}$

Objectif : minimiser le rayon de la boule

$x(t)$ converge vers une boule centrée à l'origine de rayon $\sqrt{\frac{\delta}{\varepsilon}}$ → minimiser le rayon ?

Optimisation de δ et ε

$$\delta = \max_{i=1:3^{n_u}} \Gamma_i^T B^T \Sigma B \Gamma_i \quad \text{avec} \quad \Gamma_i^T B^T \Sigma B \Gamma_i < \beta \Rightarrow \delta < \beta$$

$$\begin{cases} 1/\varepsilon < \beta & \equiv \varepsilon > 1/\beta \\ \varepsilon = \min_{i=1:3^{n_u}} \lambda_{\min}(-\mathcal{Q}_i) & \Rightarrow \end{cases}$$

$$-\mathcal{Q}_i > (1/\beta) I, \quad i = 1, \dots, 3^{n_u} \Rightarrow$$

$$\begin{pmatrix} \mathcal{Q}_i & I \\ I & -\beta I \end{pmatrix} < 0, \quad i = 1, \dots, 3^{n_u}$$

$$\begin{cases} \delta < \beta \\ \varepsilon > 1/\beta \end{cases} \Rightarrow \text{rayon} < \beta \Rightarrow \min(\text{rayon}) \equiv \min \beta$$

Objectif : minimiser le rayon de la boule

$x(t)$ converge vers une boule centrée à l'origine de rayon $\sqrt{\frac{\delta}{\varepsilon}}$ → minimiser le rayon ?

Optimisation de δ et ε

$$\delta = \max_{i=1:3^{n_u}} \Gamma_i^T B^T \Sigma B \Gamma_i \quad \text{avec} \quad \Gamma_i^T B^T \Sigma B \Gamma_i < \beta \Rightarrow \delta < \beta$$

$$\begin{cases} 1/\varepsilon < \beta & \equiv \varepsilon > 1/\beta \\ \varepsilon = \min_{i=1:3^{n_u}} \lambda_{\min}(-Q_i) & \Rightarrow \end{cases}$$

$$-Q_i > (1/\beta) I, \quad i = 1, \dots, 3^{n_u} \Rightarrow$$

$$\begin{pmatrix} Q_i & I \\ I & -\beta I \end{pmatrix} < 0, \quad i = 1, \dots, 3^{n_u}$$

$$\begin{cases} \delta < \beta \\ \varepsilon > 1/\beta \end{cases} \Rightarrow \text{rayon} < \beta \Rightarrow \min(\text{rayon}) \equiv \min \beta$$

Théorème

Il existe une commande par retour d'état statique pour un système à commande saturée tel que l'état converge vers une boule centrée à l'origine de rayon borné par β , s'il existe des matrices $P_1 = P_1^T > 0, R, \Sigma = \Sigma^T > 0$ solutions du problème d'optimisation

$$\Gamma_i^T B^T \Sigma B \Gamma_i < \beta, \quad \begin{pmatrix} Q_i & I \\ I & -\beta I \end{pmatrix} < 0, \quad Q_i = \begin{pmatrix} P_1 A^T + A P_1 - R^T \Lambda_i^T B^T - B \Lambda_i R & I \\ & I & & -\Sigma \end{pmatrix}$$

$$i = 1 : 3^{n_u}$$

La commande par retour d'état est donnée par :

$$u(t) = -Kx(t)$$

$$K = R P_1^{-1}$$

Extension aux systèmes non linéaires sous forme T-S :
commande par retour d'état sous contrainte de saturation

Modèle du système et sa commande saturée

$$\begin{aligned}\dot{x}(t) &= \sum_{i=1}^n \mu_i(\xi)(A_i x(t) + B_i u_{\text{sat}}(t)) \\ u_{\text{sat}}(t) &= \sum_{i=1}^{3^{n_u}} \mu_i^{\text{sat}}(t)(\Lambda_i u(t) + \Gamma_i) \\ u(t) &= -\sum_{j=1}^n \mu_j(\xi(t)) K_j x(t)\end{aligned}$$

Objectif

Ajuster les gains K_j pour recaler le système à l'origine compte tenu de la saturation

Solution proposée

Représentation T-S du système bouclé :

$$\dot{x}(t) = \sum_{i=1}^n \sum_{j=1}^n \sum_{k=1}^{3^{n_u}} \mu_i(\xi(t)) \mu_j(\xi(t)) \mu_k^{\text{sat}}(t) ((A_i - B_i \Lambda_k K_j) x(t) + B_i \Gamma_k)$$

Modèle du système et sa commande saturée

$$\begin{aligned}\dot{x}(t) &= \sum_{i=1}^n \mu_i(\xi)(A_i x(t) + B_i u_{\text{sat}}(t)) \\ u_{\text{sat}}(t) &= \sum_{i=1}^{3^{n_u}} \mu_i^{\text{sat}}(t)(\Lambda_i u(t) + \Gamma_i) \\ u(t) &= -\sum_{j=1}^n \mu_j(\xi(t)) K_j x(t)\end{aligned}$$

Objectif

Ajuster les gains K_j pour recaler le système à l'origine compte tenu de la saturation

Solution proposée

Représentation T-S du système bouclé :

$$\dot{x}(t) = \sum_{i=1}^n \sum_{j=1}^n \sum_{k=1}^{3^{n_u}} \mu_i(\xi(t)) \mu_j(\xi(t)) \mu_k^{\text{sat}}(t) ((A_i - B_i \Lambda_k K_j) x(t) + B_i \Gamma_k)$$

Modèle du système et sa commande saturée

$$\begin{aligned}\dot{x}(t) &= \sum_{i=1}^n \mu_i(\xi)(A_i x(t) + B_i u_{sat}(t)) \\ u_{sat}(t) &= \sum_{i=1}^{3^{nu}} \mu_i^{sat}(t)(\Lambda_i u(t) + \Gamma_i) \\ u(t) &= -\sum_{j=1}^n \mu_j(\xi(t)) K_j x(t)\end{aligned}$$

Objectif

Ajuster les gains K_j pour recaler le système à l'origine compte tenu de la saturation

Solution proposée

Représentation T-S du système bouclé :

$$\dot{x}(t) = \sum_{i=1}^n \sum_{j=1}^n \sum_{k=1}^{3^{nu}} \mu_i(\xi(t)) \mu_j(\xi(t)) \mu_k^{sat}(t) ((A_i - B_i \Lambda_k K_j) x(t) + B_i \Gamma_k)$$

Théorème

Il existe une commande par retour d'état statique pour un système non linéaire sous forme T-S sous contrainte de saturation tel que l'état converge vers une boule centrée à l'origine de rayon borné par β , s'il existe des matrices $P_1 = P_1^T > 0, R, \Sigma_k = \Sigma_k^T > 0$ solutions du problème d'optimisation

$$\min_{P_1, R, \Sigma_k} \beta$$

$$\Gamma_k^T B_i^T \Sigma_k B_i \Gamma_k < \beta, \begin{pmatrix} Q_{ijk} & I \\ I & -\beta I \end{pmatrix} < 0, Q_{ijk} = \begin{pmatrix} P_1 A_i^T + A_i P_1 - R_j^T \Lambda_k^T B_i^T - B_i \Lambda_k R_j & I \\ I & -\Sigma_k \end{pmatrix}$$

pour $i = 1, \dots, n, j = 1, \dots, n, k = 1, \dots, 3^{n_u}$.

La commande est donnée par

$$u(t) = - \sum_{j=1}^n \mu_j(\xi(t)) K_j x(t)$$

$$K_j = P_1^{-1} R_j$$

Autres applications

- Extension aux systèmes non linéaires incertains sous forme T-S : commande par retour d'état sous contrainte de saturation
- Extension aux systèmes non linéaires sous forme T-S : synthèse de contrôleurs statique et dynamique par retour de sortie sous contrainte de saturation

Simulations

Cas système non linéaire sous forme T-S et commande saturée

$$\dot{x}(t) = \sum_{i=1}^n \mu_i(\xi)(A_i x(t) + B_i u_{sat}(t))$$

$$u_{sat}(t) = \sum_{i=1}^{3^{nu}} \mu_i^{sat}(t)(\Lambda_i u(t) + \Gamma_i) \quad \text{avec} \quad u(t) = -\sum_{j=1}^n \mu_j(\xi(t)) K_j x(t)$$

$$\dot{x}(t) = \sum_{i=1}^n \sum_{j=1}^n \sum_{k=1}^{3^{nu}} \mu_i(\xi(t)) \mu_j(\xi(t)) \mu_k^{sat}(t) ((A_i - B_i \Lambda_k K_j) x(t) + B_i \Gamma_k)$$

$$A_1 = \begin{pmatrix} -2 & .1 \\ 0 & -1.5 \end{pmatrix}, \quad A_2 = \begin{pmatrix} -1.1 & .1 \\ 0 & -.8 \end{pmatrix}$$

$$B_1 = \begin{pmatrix} 1 & 0 \\ 0 & 1 \end{pmatrix}, \quad B_2 = \begin{pmatrix} 1.5 & 0 \\ 0 & 1.5 \end{pmatrix}, \quad u = \begin{pmatrix} u_1 \\ u_2 \end{pmatrix}$$

$$u_{1max} = 2, \quad u_{1min} = -2, \quad u_{2max} = 3, \quad u_{2min} = -3$$

$$\begin{cases} \mu_1(t) & = \frac{(1 - \tanh(x_1(t) + x_2(t)))}{2} \\ \mu_2(t) & = 1 - \mu_1(t) \end{cases}$$

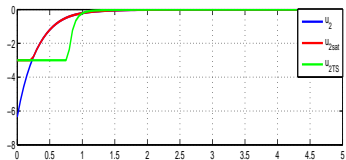
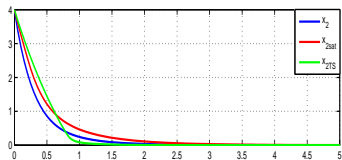
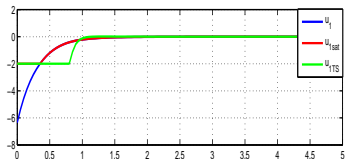
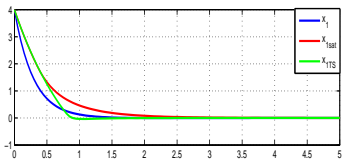


FIGURE : Cas nominal, nominal saturé et saturation T-S : états (à gauche)-commande (à droite)

Systemes linéaires à paramètres variants dans le temps : Estimation d'état et de paramètres

Objectif

Construire un observateur pour estimer simultanément l'état et les paramètres du système

Modèle du système

$$\begin{cases} \dot{x}(t) &= A(t)x(t) + B(t)u(t) \\ y(t) &= Cx(t) \end{cases}$$

$$A(t) = A_0 + \theta(t)A_1$$

$$B(t) = B_0 + \theta(t)B_1, \quad \theta(t) \in [\underline{\theta}, \bar{\theta}]$$

A_0 , A_1 , B_0 et B_1 connues. La variation de $\theta(t)$ n'est pas mesurable, mais reste bornée entre deux valeurs, respectivement notées $\underline{\theta}$ et $\bar{\theta}$ connues.

Objectif

Construire un observateur pour estimer simultanément l'état et les paramètres du système

Modèle du système

$$\begin{cases} \dot{x}(t) &= A(t)x(t) + B(t)u(t) \\ y(t) &= Cx(t) \end{cases}$$

$$A(t) = A_0 + \theta(t)A_1$$

$$B(t) = B_0 + \theta(t)B_1, \theta(t) \in [\underline{\theta}, \bar{\theta}]$$

A_0 , A_1 , B_0 et B_1 connues. La variation de $\theta(t)$ n'est pas mesurable, mais reste bornée entre deux valeurs, respectivement notées $\underline{\theta}$ et $\bar{\theta}$ connues.

Cas $\theta(t)$ scalaire

$$\theta(t) = \mu_1(\theta(t))\underline{\theta} + \mu_2(\theta(t))\bar{\theta}$$

$$\begin{cases} \mu_1(\theta(t)) &= \frac{\bar{\theta} - \theta(t)}{\bar{\theta} - \underline{\theta}} \\ \mu_2(\theta(t)) &= \frac{\theta(t) - \underline{\theta}}{\bar{\theta} - \underline{\theta}} \end{cases}$$

$$\begin{aligned} \dot{x}(t) &= (A_0 + \theta(t)A_1)x(t) + (B_0 + \theta(t)B_1)u(t) \\ &= (A_0 + (\mu_1(\theta(t))\underline{\theta} + \mu_2(\theta(t))\bar{\theta})A_1)x(t) + (B_0 + (\mu_1(\theta(t))\underline{\theta} + \mu_2(\theta(t))\bar{\theta})B_1)u(t) \end{aligned}$$

$$\dot{x}(t) = \sum_{i=1}^2 \mu_i(\theta(t))(\bar{A}_i x(t) + \bar{B}_i u(t))$$

$$\begin{cases} \bar{A}_1 &= A_0 + \underline{\theta} A_1, & \bar{B}_1 &= B_0 + \underline{\theta} B_1 \\ \bar{A}_2 &= A_0 + \bar{\theta} A_1, & \bar{B}_2 &= B_0 + \bar{\theta} B_1 \end{cases}$$

Cas $\theta(t)$ vectoriel

$$\dot{x}(t) = A(t)x(t) + B(t)u(t)$$

$$A(t) = A_0 + \sum_{i=1}^n \theta_i(t)A_i^1, \quad B(t) = B_0 + \sum_{i=1}^n \theta_i(t)B_i^1, \quad \theta_i(t) \in [\underline{\theta}_i, \bar{\theta}_i]$$

Chaque paramètre $\theta_i(t)$ est exprimé sous la forme :

$$\begin{aligned} \theta_i(t) &= \frac{\bar{\theta}_i - \theta_i(t)}{\bar{\theta}_i - \underline{\theta}_i} \underline{\theta}_i + \frac{\theta_i(t) - \underline{\theta}_i}{\bar{\theta}_i - \underline{\theta}_i} \bar{\theta}_i \\ &= \mu_i^1(\theta_i(t))\underline{\theta}_i + \mu_i^2(\theta_i(t))\bar{\theta}_i \end{aligned}$$

$$\dot{x}(t) = \sum_{i=1}^n \sum_{j=1}^2 \mu_i^j(\theta_i(t)) (\bar{A}_i^j x(t) + \bar{B}_i^j u(t))$$

$$\bar{A}_i^1 = A_0 + \underline{\theta}_i A_i^1, \quad \bar{B}_i^1 = B_0 + \underline{\theta}_i B_i^1$$

$$\bar{A}_i^2 = A_0 + \bar{\theta}_i A_i^1, \quad \bar{B}_i^2 = B_0 + \bar{\theta}_i B_i^1$$

Observateur d'état

$$\begin{cases} \dot{\hat{x}}(t) &= \sum_{i=1}^2 \mu_i(\hat{\theta}(t))(\bar{A}_i \hat{x}(t) + \bar{B}_i u(t) + L_i(y(t) - \hat{y}(t))) \\ \hat{y}(t) &= C \hat{x}(t) \end{cases}$$

Difficultés

- Difficultés pour établir l'erreur d'estimation $e_x(t) = x(t) - \hat{x}(t)$
- Variables de décision $\theta(t)$ non mesurables

Observateur des paramètres

$$\dot{\hat{\theta}}(t) = \sum_{i=1}^2 \mu_i(\hat{\theta}(t))(K_i(y(t) - \hat{y}(t)) - \alpha_i \hat{\theta}(t))$$

Ré-écriture du modèle du système

$$\dot{x}(t) = \sum_{i=1}^2 \left(\mu_i(\hat{\theta}(t))(\bar{A}_i x(t) + \bar{B}_i u(t)) + \Delta A(t)x(t) + \Delta B(t)u(t) \right)$$

$$\Delta A(t) = \sum_{i=1}^2 (\mu_i(\theta(t)) - \mu_i(\hat{\theta}(t))) \bar{A}_i = \mathcal{A} \Sigma_A(t) E_A$$

$$\Delta B(t) = \sum_{i=1}^2 (\mu_i(\theta(t)) - \mu_i(\hat{\theta}(t))) \bar{B}_i = \mathcal{B} \Sigma_B(t) E_B$$

$$\mathcal{A} = \begin{bmatrix} \bar{A}_1 & \bar{A}_2 \end{bmatrix}, \Sigma_A(t) = \begin{pmatrix} \delta_1(t) I_{n_x} & 0 \\ 0 & \delta_2(t) I_{n_x} \end{pmatrix}, E_A = \begin{bmatrix} I_{n_x} & I_{n_x} \end{bmatrix}^T$$

$$\mathcal{B} = \begin{bmatrix} \bar{B}_1 & \bar{B}_2 \end{bmatrix}, \Sigma_B(t) = \begin{pmatrix} \delta_1(t) I_{n_u} & 0 \\ 0 & \delta_2(t) I_{n_u} \end{pmatrix}, E_B = \begin{bmatrix} I_{n_u} & I_{n_u} \end{bmatrix}^T$$

$$\delta_i(t) = \mu_i(\theta(t)) - \mu_i(\hat{\theta}(t)), \quad -1 \leq \delta_i(t) \leq 1$$

$$\Sigma_A^T(t) \Sigma_A(t) \leq I$$

$$\Sigma_B^T(t) \Sigma_B(t) \leq I$$

Erreurs d'estimation

$$\mathbf{e}_x(t) = \mathbf{x}(t) - \hat{\mathbf{x}}(t)$$

$$\mathbf{e}_\theta(t) = \theta(t) - \hat{\theta}(t)$$

Dynamique des erreurs

$$\dot{\mathbf{e}}_x(t) = \sum_{i=1}^2 \mu_i(\hat{\theta}(t))((\bar{A}_i - L_i C)\mathbf{e}_x(t) + \Delta A(t)\mathbf{x}(t) + \Delta B(t)u(t))$$

$$\dot{\mathbf{e}}_\theta(t) = \sum_{i=1}^2 \mu_i(\hat{\theta}(t))(\dot{\theta}(t) - K_i C\mathbf{e}_x(t) + \alpha_i \theta(t) - \alpha_i \mathbf{e}_\theta(t))$$

Vecteur des erreurs augmenté

$$\mathbf{e}_a(t) = \begin{bmatrix} \mathbf{e}_x^T(t) & \mathbf{e}_\theta^T(t) \end{bmatrix}^T$$

Système augmenté

$$\dot{e}_a(t) = \sum_{i=1}^2 \mu_i(\hat{\theta}(t)) \Phi_i e_a(t) + \mathcal{B}_i(t) \omega(t)$$

$$\Phi_i = \begin{pmatrix} \bar{A}_i - L_i C & 0 \\ -K_i C & -\alpha I \end{pmatrix}, \quad \mathcal{B}_i(t) = \begin{pmatrix} \Delta A(t) & 0 & 0 & \Delta B(t) \\ 0 & \alpha I & I & 0 \end{pmatrix}, \quad \omega(t) = \begin{pmatrix} x(t) \\ \theta(t) \\ \dot{\theta}(t) \\ u(t) \end{pmatrix}$$

Fonction de Lyapunov

$$V(e_a(t)) = e_a^T(t) P e_a(t), \quad P = P^T > 0, \quad P = \text{diag}(P_0, P_1)$$

Atténuation \mathcal{L}_2

$$\dot{V}(t) = \sum_{i=1}^2 \mu_i(\hat{\theta}(t)) \left(e_a^T(t) (\Phi_i^T P + P \Phi_i) e_a(t) + e_a^T(t) P \mathcal{B}_i(t) \omega(t) + \omega^T(t) \mathcal{B}_i^T(t) P e_a(t) \right)$$

$$e_a(t) = \begin{bmatrix} e_x^T(t) & e_\theta^T(t) \end{bmatrix}^T, \quad \omega(t) = \begin{bmatrix} x^T(t) & \theta^T(t) & \dot{\theta}^T(t) & u^T(t) \end{bmatrix}^T$$

$$\dot{V}(t) + e_a^T(t) \Gamma_1 e_a(t) - \omega^T(t) \Gamma_2 \omega(t) < 0$$

$$\begin{pmatrix} e_a(t) \\ \omega(t) \end{pmatrix}^T \left(\sum_{i=1}^2 \mu_i(\hat{\theta}(t)) \begin{pmatrix} \Phi_i^T P + P \Phi_i + \Gamma_1 & P \mathcal{B}_i(t) \\ \mathcal{B}_i^T(t) P & -\Gamma_2 \end{pmatrix} \right) \begin{pmatrix} e_a(t) \\ \omega(t) \end{pmatrix} < 0$$

Difficulté et Solution

- Termes constants et variants dans le temps
- Séparer l'influence des termes variants dans le temps et les majorer

Atténuation \mathcal{L}_2

$$\dot{V}(t) = \sum_{i=1}^2 \mu_i(\hat{\theta}(t)) \left(e_a^T(t) (\Phi_i^T P + P \Phi_i) e_a(t) + e_a^T(t) P \mathcal{B}_i(t) \omega(t) + \omega^T(t) \mathcal{B}_i^T(t) P e_a(t) \right)$$

$$e_a(t) = \begin{bmatrix} e_x^T(t) & e_\theta^T(t) \end{bmatrix}^T, \quad \omega(t) = \begin{bmatrix} x^T(t) & \theta^T(t) & \dot{\theta}^T(t) & u^T(t) \end{bmatrix}^T$$

$$\dot{V}(t) + e_a^T(t) \Gamma_1 e_a(t) - \omega^T(t) \Gamma_2 \omega(t) < 0$$

$$\begin{pmatrix} e_a(t) \\ \omega(t) \end{pmatrix}^T \left(\sum_{i=1}^2 \mu_i(\hat{\theta}(t)) \begin{pmatrix} \Phi_i^T P + P \Phi_i + \Gamma_1 & P \mathcal{B}_i(t) \\ \mathcal{B}_i^T(t) P & -\Gamma_2 \end{pmatrix} \right) \begin{pmatrix} e_a(t) \\ \omega(t) \end{pmatrix} < 0$$

Difficulté et Solution

- Termes constants et variants dans le temps

- Séparer l'influence des termes variants dans le temps et les majorer

Atténuation \mathcal{L}_2

$$\dot{V}(t) = \sum_{i=1}^2 \mu_i(\hat{\theta}(t)) \left(e_a^T(t) (\Phi_i^T P + P \Phi_i) e_a(t) + e_a^T(t) P \mathcal{B}_i(t) \omega(t) + \omega^T(t) \mathcal{B}_i^T(t) P e_a(t) \right)$$

$$e_a(t) = \begin{bmatrix} e_x^T(t) & e_\theta^T(t) \end{bmatrix}^T, \quad \omega(t) = \begin{bmatrix} x^T(t) & \theta^T(t) & \dot{\theta}^T(t) & u^T(t) \end{bmatrix}^T$$

$$\dot{V}(t) + e_a^T(t) \Gamma_1 e_a(t) - \omega^T(t) \Gamma_2 \omega(t) < 0$$

$$\begin{pmatrix} e_a(t) \\ \omega(t) \end{pmatrix}^T \left(\sum_{i=1}^2 \mu_i(\hat{\theta}(t)) \begin{pmatrix} \Phi_i^T P + P \Phi_i + \Gamma_1 & P \mathcal{B}_i(t) \\ \mathcal{B}_i^T(t) P & -\Gamma_2 \end{pmatrix} \right) \begin{pmatrix} e_a(t) \\ \omega(t) \end{pmatrix} < 0$$

Difficulté et Solution

- Termes constants et variants dans le temps

- Séparer l'influence des termes variants dans le temps et les majorer

Problème à résoudre

$$\min_{P_0, P_1, R_i, F_i, \bar{\alpha}_i, \Gamma_i^j} \beta$$

sous les contraintes LMI ($i = 1, 2$)

$$\left(\begin{array}{cccccc|cc} M_i^1 & -C^T F_i^T & 0 & 0 & 0 & 0 & P_0 \mathcal{A} & P_0 \mathcal{B} \\ * & -\bar{\alpha}_i - \bar{\alpha}_i^T + \Gamma_i^1 & 0 & \bar{\alpha}_i & P_1 & 0 & 0 & 0 \\ * & * & -\Gamma_2^0 + \lambda_1 E_A^T E_A & 0 & 0 & 0 & 0 & 0 \\ * & * & * & -\Gamma_2^1 & 0 & 0 & 0 & 0 \\ * & * & * & * & -\Gamma_2^2 & 0 & 0 & 0 \\ * & * & * & * & * & -\Gamma_2^3 + \lambda_2 E_B^T E_B & 0 & 0 \\ * & * & * & * & * & * & -\lambda_{i1} I & 0 \\ * & * & * & * & * & * & 0 & -\lambda_{i2} I \end{array} \right) < 0$$

$$\Gamma_2^j < \beta (j = 0, 1, 2, 3)$$

$$M_i^1 = P_0 \bar{A}_i + \bar{A}_i^T P_0 - R_i C - C^T R_i^T + \Gamma_i^0$$

Gains des observateurs : $L_i = P_0^{-1} R_i$, $K_i = P_1^{-1} F_i$, $\alpha_i = P_1^{-1} \bar{\alpha}_i$

Propriété de somme convexe

$$\mu_2(t) = 1 - \mu_1(t)$$

$$\dot{x}(t) = \sum_{i=1}^2 \left(\mu_1(\hat{\theta}(t))(\bar{A}_i x(t) + \bar{B}_i u(t)) + \Delta A(t)x(t) + \Delta B(t)u(t) \right)$$

$$\Delta A(t) = \delta_1(t)(\bar{A}_1 - \bar{A}_2)$$

$$\Delta B(t) = \delta_1(t)(\bar{B}_1 - \bar{B}_2)$$

$$\delta_1(t) = \mu_1(\theta(t)) - \mu_1(\hat{\theta}(t))$$

Conditions relaxées

$$\min_{P_0, P_1, R_i, F_i, \bar{\alpha}_i, \Gamma_i^j} \beta$$

sous les contraintes LMI ($i=1,2$)

$$\begin{pmatrix} M_i^1 & -C^T F_i^T & 0 & 0 & 0 & 0 & P_0 & P_0 \\ * & -\bar{\alpha}_i - \bar{\alpha}_i^T + \Gamma_1^1 & 0 & \bar{\alpha}_i & P_1 & 0 & 0 & 0 \\ * & * & -\Gamma_2^0 + \Lambda_A & 0 & 0 & 0 & 0 & 0 \\ * & * & * & -\Gamma_2^1 & 0 & 0 & 0 & 0 \\ * & * & * & * & -\Gamma_2^2 & 0 & 0 & 0 \\ * & * & * & * & * & -\Gamma_2^3 + \Lambda_B & 0 & 0 \\ * & * & * & * & * & * & -\Lambda_1 & 0 \\ * & * & * & * & * & * & 0 & -\Lambda_2 \end{pmatrix} < 0$$

$$\Gamma_2^j < \beta (j=0,1,2,3)$$

$$M_i^1 = P_0 \bar{A}_i + \bar{A}_i^T P_0 - R_i C - C^T R_i^T + \Gamma_1^0$$

$$\Lambda_A = (\bar{A}_1 - \bar{A}_2)^T \Lambda_1 (\bar{A}_1 - \bar{A}_2), \quad \Lambda_B = (\bar{B}_1 - \bar{B}_2)^T \Lambda_2 (\bar{B}_1 - \bar{B}_2)$$

$$\text{Gains des observateurs : } L_i = P_0^{-1} R_i, \quad K_i = P_1^{-1} F_i, \quad \alpha_i = P_1^{-1} \bar{\alpha}_i$$

Systemes non linéaires sous forme T-S à paramètres
variants dans le temps :
Estimation d'état et de paramètres

Modèle

$$\begin{cases} \dot{x}(t) &= \sum_{i=1}^r \mu_i(x(t))(A_i(t)x(t) + B_i u(t)) \\ y(t) &= Cx(t) \end{cases}$$

$$A_i(t) = A_i + \theta(t)\bar{A}_i$$

$$B_i(t) = B_i + \theta(t)\bar{B}_i, \theta(t) \in [\underline{\theta}, \bar{\theta}]$$

Système T-S

$$\dot{x}(t) = \sum_{i=1}^r \sum_{j=1}^2 \mu_i(x(t))\mu_j(\theta(t))(\mathcal{A}_{ij}x(t) + \mathcal{B}_{ij}u(t))$$

$$\begin{cases} \mathcal{A}_{i1} &= A_i + \underline{\theta} \bar{A}_i, \mathcal{B}_{i1} = B_i + \underline{\theta} \bar{B}_i \\ \mathcal{A}_{i2} &= A_i + \bar{\theta} \bar{A}_i, \mathcal{B}_{i2} = B_i + \bar{\theta} \bar{B}_i \end{cases}$$

Difficultés

- Variables de décision non mesurables ($x(t)$ et $\theta(t)$)

Observateurs

$$\begin{cases} \dot{\hat{x}}(t) &= \sum_{i=1}^r \sum_{j=1}^2 \mu_i(\hat{x}(t)) \mu_j(\hat{\theta}(t)) (\mathcal{A}_{ij} \hat{x}(t) + \mathcal{B}_{ij} u(t) + L_i (y(t) - \hat{y}(t))) \\ \hat{y}(t) &= C \hat{x}(t) \end{cases}$$

$$\dot{\hat{\theta}}(t) = \sum_{j=1}^2 \mu_j(\hat{\theta}(t)) (\mathcal{K}_j (y(t) - \hat{y}(t)) - \alpha_j \hat{\theta}(t))$$

LMIs à résoudre

$$\min_{P_0, P_1, R_i, F_j, \bar{\alpha}_i, \Gamma_j^k} \beta$$

sous les contraintes LMI ($i = 1 : r, j = 1, 2$)

$$\left(\begin{array}{cccccccc} M_{ij}^1 & -C^T F_j^T & 0 & 0 & 0 & 0 & P_0 \mathcal{A} & P_0 \mathcal{B} \\ * & -\bar{\alpha}_j - \bar{\alpha}_j^T + \Gamma_1^1 & 0 & \bar{\alpha}_j & P_1 & 0 & 0 & 0 \\ * & * & -\Gamma_2^0 + \lambda_1 E_A^T E_A & 0 & 0 & 0 & 0 & 0 \\ * & * & * & -\Gamma_2^1 & 0 & 0 & 0 & 0 \\ * & * & * & * & -\Gamma_2^2 & 0 & 0 & 0 \\ * & * & * & * & * & -\Gamma_2^3 + \lambda_2 E_B^T E_B & 0 & 0 \\ * & * & * & * & * & * & -\lambda_1 I & 0 \\ * & * & * & * & * & * & 0 & -\lambda_2 I \end{array} \right) < 0$$

$$\Gamma_2^k < \beta (k = 0, 1, 2, 3)$$

$$M_{ij}^1 = P_0 \bar{A}_{ij} + \bar{A}_{ij}^T P_0 - R_i C - C^T R_i^T + \Gamma_1^0$$

$$L_i = P_0^{-1} R_i, K_j = P_1^{-1} F_j, \alpha_j = P_1^{-1} \bar{\alpha}_j$$

Simulations

Exemple académique

Considérons le système suivant :

$$A_0 = \begin{pmatrix} -0.3 & -1 & -0.3 \\ 0.1 & -2 & -0.5 \\ -0.1 & 0 & -0.1 \end{pmatrix}, A_1^1 = \begin{pmatrix} 0 & -1.1 & 0 \\ 0 & 0 & 0 \\ 0 & 0 & 0 \end{pmatrix}, A_2^1 = \begin{pmatrix} 0 & 0 & 0 \\ 0 & 0 & 0 \\ 0 & 0 & -1.1 \end{pmatrix}$$

$$B = \begin{pmatrix} 1 \\ 0.5 \\ 0.25 \end{pmatrix}, C = \begin{pmatrix} 1 & 0 & 0 \\ 0 & 0 & 1 \end{pmatrix}$$

Les paramètres $\theta_1(t)$ et $\theta_2(t)$ varient entre $[0, 1]$.

Cas nominal : $\dot{x}_n(t) = A_0 x_n(t) + Bu(t)$

Cas variations paramétriques : $\dot{x}_v(t) = (A_0 + \theta_1(t)A_1^1 + \theta_2(t)A_2^1)x_v(t) + Bu(t)$

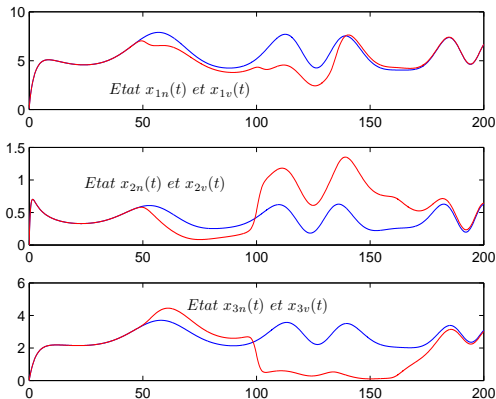


FIGURE : Système nominal (bleu) -avec variation paramétrique (rouge)

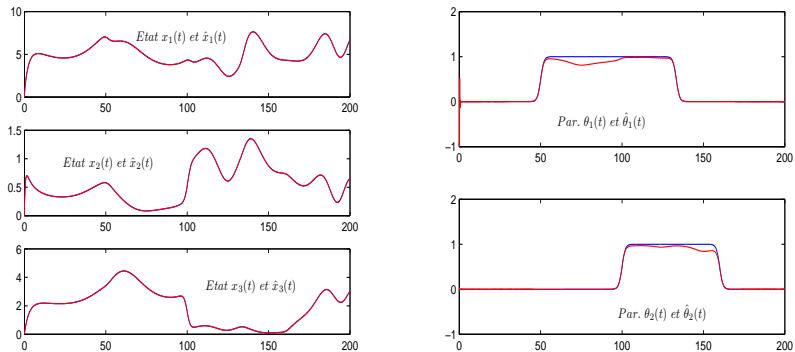


FIGURE : Etats et leurs estimées (gauche)-Paramètres θ et leurs estimées (droite)

Système non linéaire (simplifié) : estimation d'état d'un bioréacteur simplifié

$$\dot{x}_1(t) = \frac{ax_1(t)x_2(t)}{x_2(t)+b} - x_1(t)u(t)$$

$$\dot{x}_2(t) = -\frac{cax_1(t)x_2(t)}{x_2(t)+b} + (d - x_2(t))u(t)$$

$x_1(t)$ la concentration en biomasse et $x_2(t)$ la concentration en substrat.

Commande $u(t)$: taux de dilution de l'entrée.

$a = 0.5$, $b = 0.07$, $c = 0.7$ et $d = 2.5$.

sortie $y(t) = x_1(t)$ ($x_2(t)$ non mesurable).

Mise sous forme de modèle T-S

$$z_1(t) = -u(t)$$

$$z_2(t) = \frac{ax_1(t)x_2(t)}{x_2(t)+b}$$

$$z_3(t) = -u(t) - \frac{cax_1(t)x_2(t)}{x_2(t)+b}$$

$2^3 = 8$ sous-modèles.

Mise sous forme de modèle T-S

$$\dot{x}(t) = \sum_{i=1}^8 (A_i x(t) + B u(t))$$

$$A_1 = \begin{pmatrix} -0.2 & 15 \\ 0 & -0.2 \end{pmatrix}, A_2 = \begin{pmatrix} -0.2 & 15 \\ 0 & -1.72 \end{pmatrix}, A_3 = \begin{pmatrix} -0.2 & 0.004 \\ 0 & -0.2 \end{pmatrix}$$

$$A_4 = \begin{pmatrix} -0.2 & 0.004 \\ 0 & -1.72 \end{pmatrix}, A_5 = \begin{pmatrix} -1 & 15 \\ 0 & -0.2 \end{pmatrix}, A_6 = \begin{pmatrix} -1 & 15 \\ 0 & -1.72 \end{pmatrix}$$

$$A_7 = \begin{pmatrix} -1 & 0.004 \\ 0 & -0.2 \end{pmatrix}, A_8 = \begin{pmatrix} -1 & 0.004 \\ 0 & -1.72 \end{pmatrix}, B_i = B = \begin{pmatrix} 0 \\ 2.5 \end{pmatrix}, C = \begin{pmatrix} 1 & 0 \end{pmatrix}$$

Erreurs de modélisation : $A_i(t) = A_i + \theta(t)\bar{A}_i$.

$$\bar{A}_i = \begin{pmatrix} 0 & 0.5 \\ 0 & 0 \end{pmatrix}$$

$\theta(t)$ paramètre variant entre $[0, 1]$.

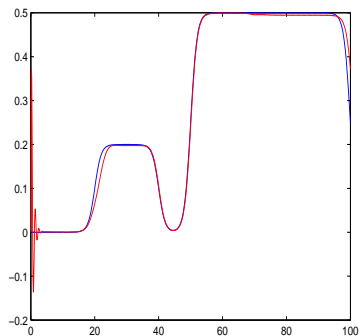
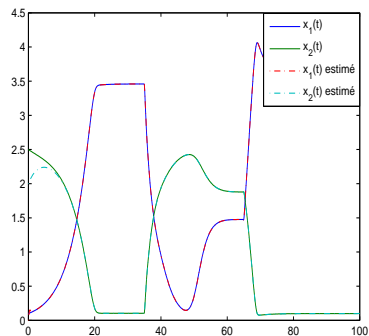


FIGURE : Etats et leurs estimées (gauche)-Paramètres θ et son estimée (droite)

Conclusions

- Nouvelle approche systématique pour le traitement des non-linéarités (saturation de commande et variations paramétriques).
- Méthode basée sur la ré-écriture sous forme de modèles T-S (par secteur non linéaires).
- Transformation en problème d'optimisation sous contraintes LMI (Inégalités Matricielles Linéaires).

Perspectives

- Application à la commande FTC pour la poursuite de modèle de référence.
- Présence de bruits de mesure.
- Application au diagnostic (résidus et bancs d'observateurs).
- Utilisation de fonctions de Lyapunov permettant de relaxer les conditions LMI.

Merci pour votre attention

Quelques références sur les modèles T-S

- 1 T. A. Johansen, A.B Foss. Identification of non-linear system structure and parameters using regime decomposition. Automatica, 1995.
- 2 K. Tanaka, H.O. Wang. Fuzzy Control Systems Design and Analysis : A Linear Matrix Inequality Approach. Ed. John Wiley and Sons, Inc, 2001.
- 3 A. Akhenak, M. Chadli, J. Ragot, D. Maquin. Estimation d'état et d'entrées inconnues d'un système non linéaire représenté sous forme multimodèle. CIFA, 2004.
- 4 J. Li, C. Bo, J. Zhang and J. Du. Fault Diagnosis and Accommodation Based on Online Multi-model for Nonlinear Process. Lecture Notes in Computer Science, 2006.
- 5 Z. Petres. Polytopic Decomposition of Linear Parameter-Varying Models by Tensor-Product Model Transformation. Ph.D. Dissertation, 2006.
- 6 R. Orjuela, D. Maquin, J. Ragot. Nonlinear system identification using uncoupled state multiple-model approach. Workshop on Advanced Control and Diagnosis, 2006.
- 7 D. Saifia, M. Chadli, S. Iabiod. H_{∞} Control of Multiple Model Subject to Actuator Saturation : Application to Quarter-Car Suspension System. Journal of Analog Integrated Circuits and Signal Processing, 2011.
- 8 E. Naderi, N. Meskin, K. Khorasani. Nonlinear Fault Diagnosis of Jet Engines by Using a Multiple Model-Based Approach, J. Eng. Gas Turbines Power, 2012.
- 9 A.M. Nagy, G. Mourot, G. Schutz, J. Ragot. Exact activated sludge reactor modeling using a multiple model. Industrial & Engineering Chemistry Research, 2010.
- 10 S. Tarbouriech, G. Garcia, J.M. Gomes da Silva Jr. I. Queinnec. Stability and Stabilization of Linear Systems with Saturating Actuators. Springer-Verlag, 2011.